

**COMPITO DI CONTROLLI AUTOMATICI**  
**Ingegneria dell'Informazione**  
**2 Settembre 2019**

**Esercizio 1.** [10 punti] Data

$$G(s) = \frac{1 + s^2}{s(1 - s) \left(1 - \frac{s}{10}\right)}$$

- i) si determini il diagramma di Bode (modulo e fase) della risposta in frequenza del sistema;
- ii) si determini il diagramma di Nyquist di  $G(j\omega)$  per  $\omega \in \mathbb{R}$ , calcolando eventuali asintoti ed intersezioni con gli assi;
- iii) si studi attraverso il criterio di Nyquist la stabilità BIBO del sistema retroazionato

$$W(s) = \frac{KG(s)}{1 + KG(s)},$$

al variare di  $K$  in  $\mathbb{R}$ ,  $K \neq 0$ . Si verifichi infine che lo studio della stabilità di  $W(s)$  con Routh conduce agli stessi risultati.

**Esercizio 2.** [9 punti] Data

$$G(s) = \frac{(s + 1)^2}{s^2(s - 2)}$$

si traccino i luoghi positivo e negativo (con analisi di punti doppi, asintoti ed intersezioni con l'asse immaginario), e si deduca la stabilità BIBO di  $W(s) = \frac{KG(s)}{1 + KG(s)}$  al variare di  $K$  reale.

**Esercizio 3.** [7 punti] i) Data la funzione di trasferimento

$$G(s) = \frac{s + 1}{s^2}$$

è richiesto il progetto di un controllore stabilizzante  $C(s)$  che soddisfi le specifiche: errore a regime alla rampa parabolica pari a circa 0.1 (e quindi tipo 2),  $\omega_A \simeq 0.1$  rad/s,  $m_\phi \simeq 90^\circ$ .

ii) Data la funzione di trasferimento

$$G(s) = \frac{(s + 1)^2}{s^3 + a_2 s^2 + a_1 s + a_0}$$

con  $a_2, a_1, a_0$  numeri reali arbitrari, si dimostri che esiste sempre un controllore di tipo puramente proporzionale che rende il risultante sistema retroazionato BIBO stabile.

**Teoria.** [5 punti] Si consideri un modello ingresso/uscita LTI a tempo continuo causale, descritto da un'equazione differenziale lineare e a coefficienti costanti del tipo

$$a_n \frac{d^n y(t)}{dt^n} + a_{n-1} \frac{d^{n-1} y(t)}{dt^{n-1}} + \dots + a_0 y(t) = b_m \frac{d^m u(t)}{dt^m} + \dots + b_0 u(t),$$

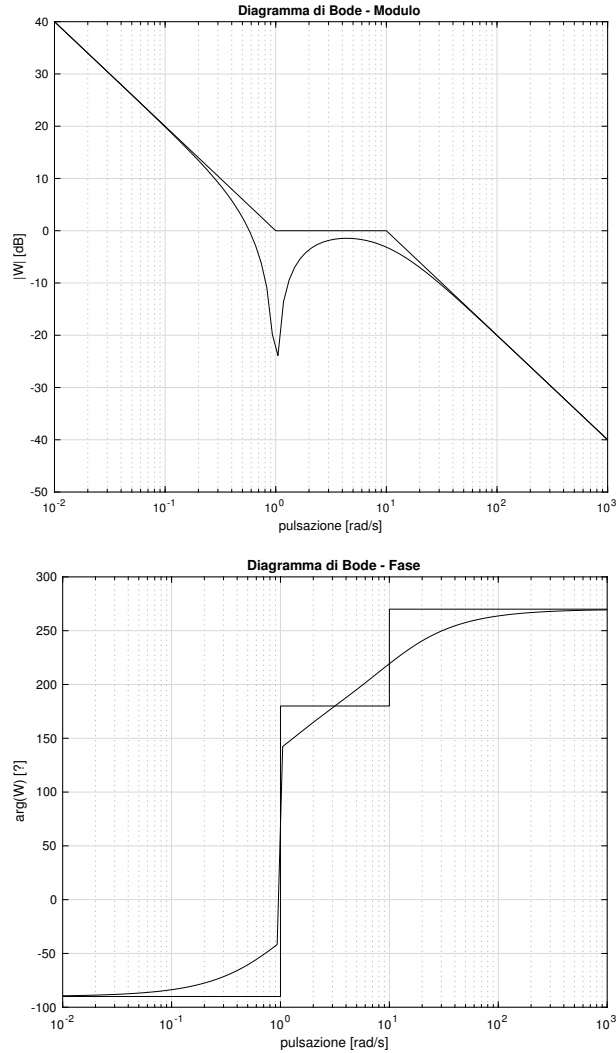
( $a_n, b_m \neq 0$  e  $n \geq m$ ) e sollecitato dal segnale di ingresso

$$u(t) = e^{j\tilde{\omega}t} \delta_{-1}(t),$$

con  $\tilde{\omega} \in \mathbb{R}$  fissato. Assumendo condizioni iniziali arbitrarie, si introducano i concetti di risposta di regime permanente e di risposta transitoria, e si dimostri (operando nel dominio delle trasformate) come sotto opportune ipotesi l'evoluzione complessiva (d'uscita)  $y(t)$  del sistema sia sempre esprimibile come somma delle due. Come cambia la risposta alla precedente domanda se le condizioni iniziali del sistema sono nulle?

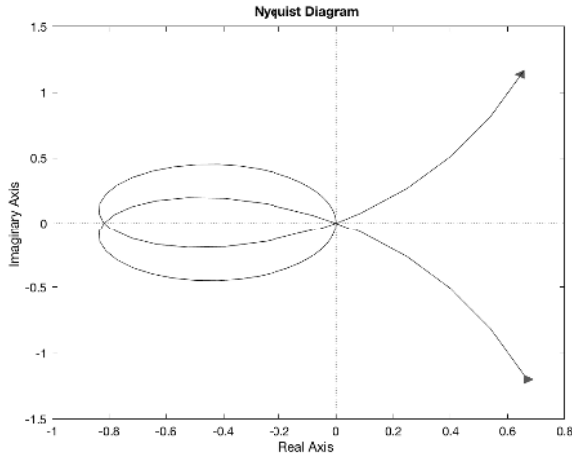
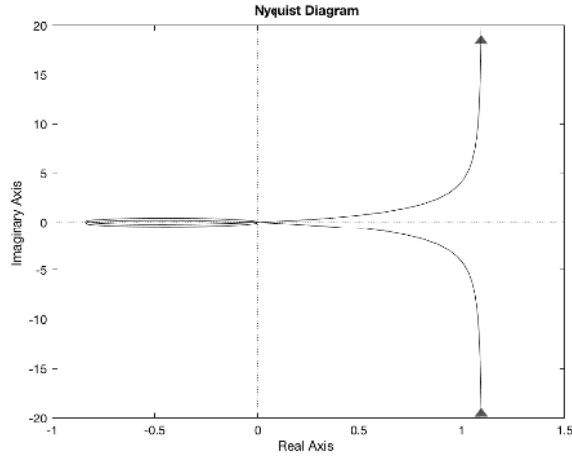
# SOLUZIONI

**Esercizio 1.** i) I diagrammi di Bode sono in figura



Il modulo di Bode (asintotico) scende con pendenza  $-20\text{dB/dec}$  fino a 0 dB per  $\omega = 1$  rad/s, poi prosegue piatto fino ad  $\omega = 10$  rad/s, dove riprende a scendere con pendenza  $-20\text{ dB/dec}$ . Il modulo reale evidenzia un picco di antirisonanza infinito (anche se la figura lo rappresenta erroneamente finito) per  $\omega = 1$  rad/s, poi risale senza raggiungere l'asse delle ascisse, ammette un massimo relativo e poi riscende. La fase di Bode (asintotica) parte da  $-90^\circ$ , ed in  $\omega = 1$  rad/s deve salire di  $90^\circ$  ma anche esibire una discontinuità di  $180^\circ$ , per cui si ritrova a  $180^\circ$ , per poi salire a  $270^\circ$  in corrispondenza di  $\omega = 10$  rad/s. La fase reale sale da  $-90^\circ$  fino a circa  $-45^\circ$ , poi esibisce la discontinuità che la porta circa a  $135^\circ$ , poi riprende a salire verso i  $180^\circ$ , e infine riprende a salire per raggiungere asintoticamente  $270^\circ$ .

ii) Il diagramma di Nyquist è in figura assieme ai suoi dettagli intorno all'origine (per valori molto grandi di  $|\omega|$ )



Calcolando  $G(j\omega)$  si ha facilmente

$$G(j\omega) = \frac{11}{10} \frac{1 - \omega^2}{(1 + \omega^2) \left(1 + \frac{\omega^2}{100}\right)} + j \frac{(1 - \omega^2) \left(\frac{\omega^2}{10} - 1\right)}{\omega(1 + \omega^2) \left(1 + \frac{\omega^2}{100}\right)}.$$

Si vede che parti reali ed immaginaria si annullano (entrambe) per  $\omega = 1$ . La parte immaginaria si annulla anche per  $\omega = \sqrt{10}$ , valore in corrispondenza a cui la parte reale vale  $-9/11$ . L'asintoto (verticale) si trova facendo il limite per  $\omega \rightarrow 0^+$ , che porge  $\frac{11}{10} - i\infty$  (quindi arriva dal basso ed è posizionato in  $s = +\frac{11}{10}$ ). Nyquist arriva quindi dall'infinito (in basso) nel IV quadrante, attraversa l'origine con pendenza di circa  $-45^\circ$  e si ritrova nel II quadrante, ruota in verso antiorario e attraversa il semiasse reale negativo in  $-9/11$ , per passare nel III quadrante e poi tornare in  $s = 0$  con tangente verticale ( $270^\circ$ ) per  $\omega \rightarrow +\infty$ .

iii) Si noti preliminarmente che  $n_{G_+} = 2$ . L'analisi del numero di giri (aggiunta la parte relativa alle  $\omega$  negative ed il semicerchio di raggio infinito percorso in senso orario) conduce facilmente a determinare i seguenti casi:

- $0 < K < \frac{11}{9}$ : si ha  $N = 0$  e  $n_{G_+} = 2$  da cui  $n_{W_+} = 2$ ;
- $K > \frac{11}{9}$ : si ha  $N = 2$  e  $n_{G_+} = 2$  da cui  $n_{W_+} = 0$ ;
- $K < 0$ : si ha  $N = -1$  e  $n_{G_+} = 2$  da cui  $n_{W_+} = 3$ .

In definitiva, si ha sempre instabilità tranne per  $K > \frac{11}{9}$ .

La tabella di Routh è:

$$\begin{array}{c|cc} 3 & 0.1 & 1 \\ 2 & K - 1.1 & K \\ 1 & \frac{0.9K - 1.1}{K - 1.1} & \\ 0 & K & \end{array}$$

ed analizzando variazioni e permanenze si trovano 3 variazioni per  $K < 0$ , 2 per  $0 < K < \frac{11}{9}$ , nessuna per  $K > \frac{11}{9}$ . Per  $K = 1.1$  la tabella ha una riga nulla e quindi non potrebbe giungere a compimento, ma in realtà non succede nulla di speciale (come visto con Nyquist), in quanto sia per  $K$  leggermente più grande che leggermente più piccolo di 1.1 il numero di variazioni è sempre 2.

**Esercizio 2.** La ricerca dei punti doppi conduce a

$$s(s+1)(s^2+3s-4) = s(s+1)(s-1)(s+4) = 0$$

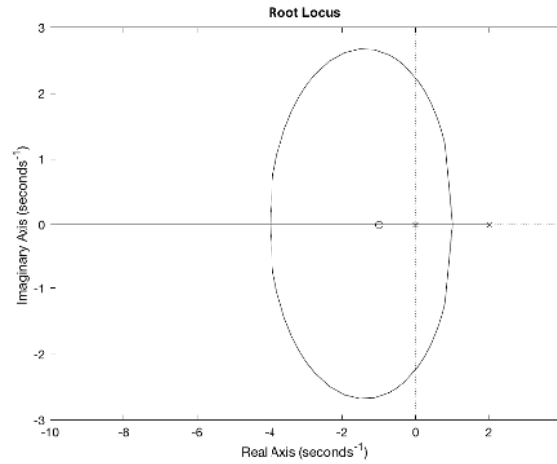
che permette di identificare le seguenti coppie punto doppio-valore di  $K$ :

$$(s=0, K=0), (s=-1, K=\infty), (s=1, K=\frac{1}{4}), (s=-4, K=\frac{32}{3}).$$

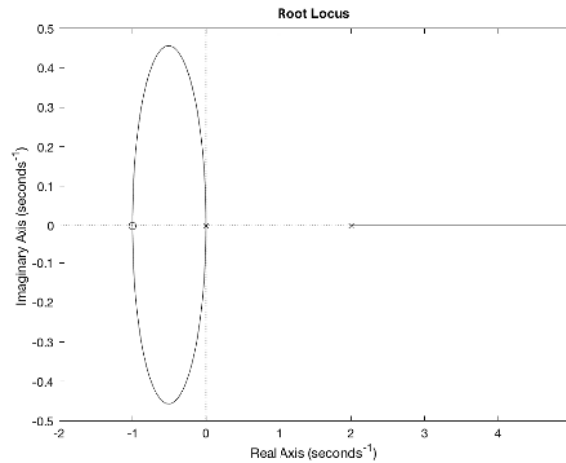
Quindi, oltre ai punti doppi banali, ce ne sono altri due entrambi appartenenti al luogo positivo. La ricerca delle intersezioni con l'asse immaginario conduce a

$$\begin{aligned} j\omega(2K - \omega^2) + [K(1 - \omega^2) + 2\omega^2] &= 0 \Rightarrow \omega = 0 \rightarrow (\omega = 0, K = 0), \\ &\Rightarrow \omega^2 = 2K \rightarrow K(5 - 2K) = 0 \\ &\Rightarrow (K = 0, \omega = 0), (K = \frac{5}{2}, \omega = \pm\sqrt{5}) \end{aligned}$$

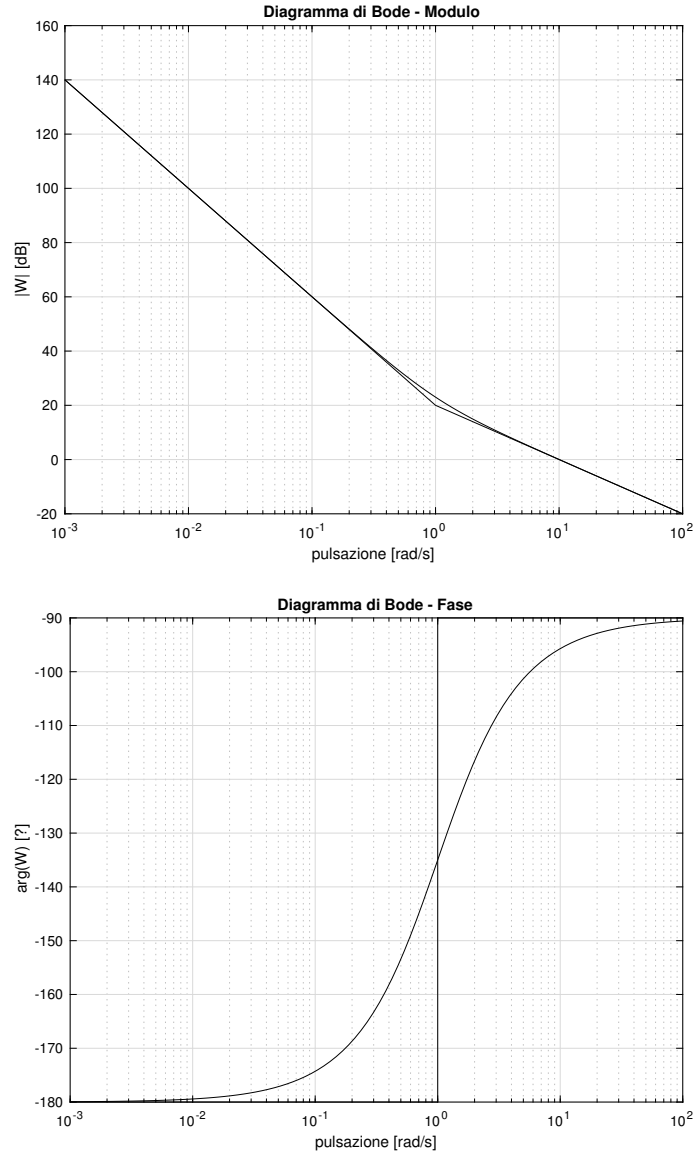
quindi, oltre all'intersezione banale (punto di partenza di alcuni rami) in  $s = 0$ , ci sono altre intersezioni solo nel luogo positivo. Nel luogo positivo due rami sull'asse reale che provengono da  $s = 0$  ed  $s = +2$  si incontrano nel punto doppio  $s = 1$  per  $K = \frac{1}{4}$ , quindi escono sul piano complesso, attraversano l'asse immaginario in  $s = \pm i\sqrt{5}$  per  $K = \frac{5}{2}$ , infine rientrano nell'asse reale nel punto doppio  $s = -4$  per  $K = \frac{32}{3}$ , da cui un ramo si dirige verso lo zero in  $s = -1$ , l'altro verso  $-\infty$  (asintoto del luogo positivo), mentre il terzo ramo semplicemente si muove sull'asse reale da  $s = 0$  verso lo zero (doppio) in  $s = -1$ . La stabilità BIBO si ha solo in seguito all'attraversamento dell'asse immaginario, quindi per  $K > \frac{5}{2}$  (prima si hanno due poli a parte reale positiva, che per  $K = \frac{5}{2}$  diventano immaginari puri  $s = \pm i\sqrt{5}$ , ed un polo negativo).



Il luogo negativo invece consta di un ramo che da  $s = +2$  si muove sull'asse reale verso  $+\infty$  (asintoto del luogo negativo), ed altri due rami complessi coniugati che si muovono dal polo doppio verso lo zero doppio, restando sempre nel semipiano a parte reale negativa vista l'assenza di intersezioni con l'asse immaginario nel luogo negativo. Quindi mai stabilità BIBO (sempre due poli a parte reale negativa ed uno positivo). Neppure per  $K = 0$  si ha stabilità BIBO (entrambi i luoghi partono dai poli  $s = 0$  - doppio - ed  $s = +2$ , quindi due poli nulli ed uno positivo).



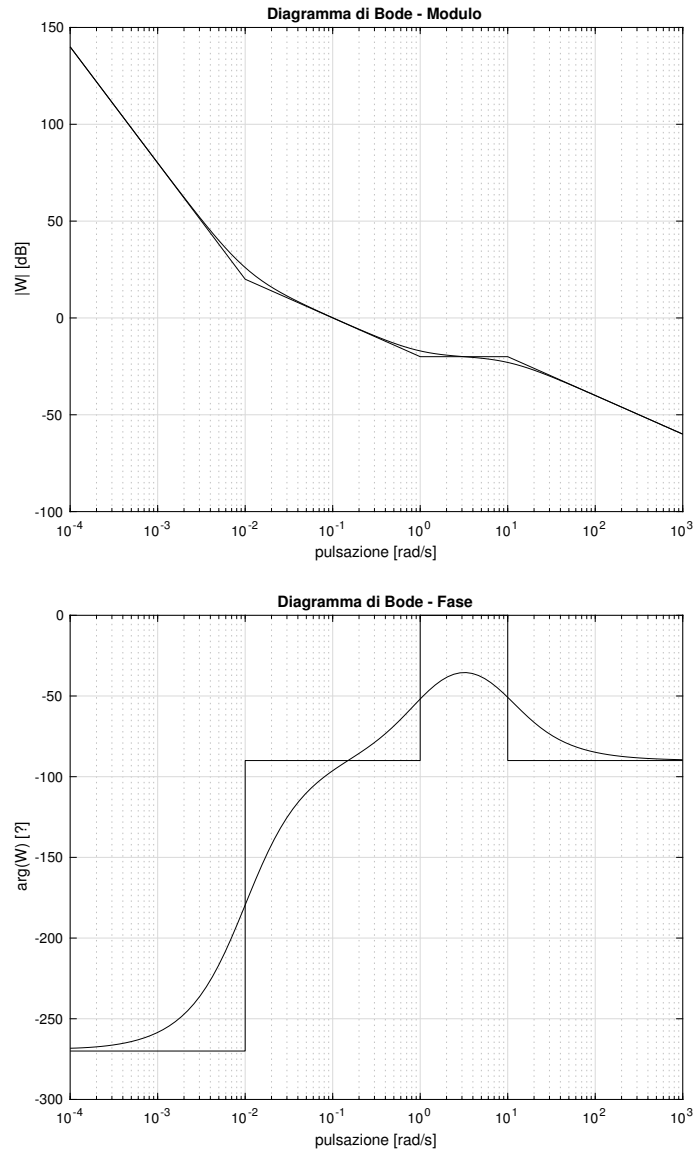
**Esercizio 3.** Per il punto i), è necessario il ricorso a  $C'(s) = 10$  per il requisito sull'errore a regime alla rampa parabolica, dopodichè si nota che in  $\omega_A \simeq 0.1$  rad/s il modulo di  $C'(j\omega)G(j\omega)$  è a  $+60$  dB, mentre la fase è a quasi  $-180^\circ$ .



È necessario quindi il ricorso ad una rete a sella per abbassare il modulo di  $-60\text{dB}$ , aumentando nel contempo la fase di circa  $+90^\circ$ . Una possibile (tra le infinite) soluzioni è la seguente (già comprensiva di  $C'(s) = 10$ )

$$C(s) = \frac{10(1 + 100s)^2}{(1 + 10^6s)(1 + \frac{s}{10})}$$

in quanto l'effetto del primo polo assieme allo zero è un abbassamento del modulo di  $-80\text{dB}$ , che poi risale (essendo lo zero doppio) di  $+20\text{ dB}$  per arrivare ad  $\omega_A \simeq 0.1\text{ rad/s}$ , causando anche il richiesto miglioramento di fase. Il secondo polo serve solo per rendere proprio il compensatore, ed è piazzato 2 decadi dopo  $\omega_A$ .



Per il punto ii), basta osservare che il sistema possiede due zeri negativi e tre poli, per cui il luogo delle radici positivo avrà tre rami, due tendenti agli zeri (negativi) ed uno tendente a  $-\infty$  (asintoto del luogo positivo). Quindi per  $K_E$  sufficientemente grande (e positivo), tutti i poli avranno certamente parte reale negativa.

**Teoria.** Si veda il Libro di testo, pp. 89 e seguenti.